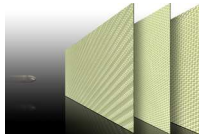


Mehrlagige Gewebestrukturen unter Impaktbelastung

Matthias Boljen Stefan Hiermaier

Fraunhofer Institut für Kurzzeitdynamik
Ernst-Mach-Institut, EMI

LS-DYNA Update Forum
Filderstadt bei Stuttgart
12. November 2009



Persönliche Sicherheit / Schutz

- ▶ Schutzkleidung
 - ▶ Ballistische Körperschutzwesten
 - ▶ Hitze- und feuerfeste Schutzkleidung
 - ▶ Freizeit- und Sportausrüstungen
 - ▶ Arbeitsschutzkleidung
- ▶ Bauwesen
 - ▶ Schutzzäune und Sicherheitsbarrieren
 - ▶ Leichte ballistische Schutzstrukturen
- ▶ Transport- und Verkehrswesen
 - ▶ Airbag-Systeme
 - ▶ Fallschirme und Bremssysteme



[Twaron]



[Twaron]



[Twaron]



[Unbekannt]



[Sicurauto]



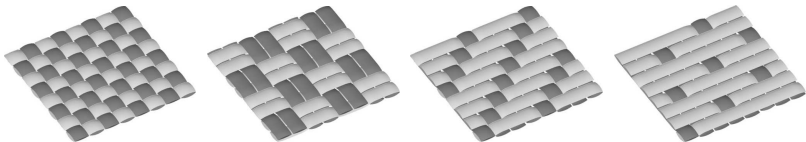
[Wikipedia]



[NASA]

Grundlagen

- ▶ Zweidimensionale Konstruktionswerkstoffe
- ▶ Sehr gute Flexibilität und Drapierbarkeit
- ▶ Hoch Festigkeit und hohe Steifigkeiten bei sehr niedriger Dichte
- ▶ Fertigung durch systematisches Ineinanderlegen zweier Fadengruppen: **Kett- und Schussfäden**
- ▶ Entkoppelte Betrachtung von Volumenänderung (Streckung entlang Fadenrichtungen) und Gestaltänderung (Scherung der Fäden) zulässig
- ▶ Starker Einfluss der Gewebemesostruktur auf Materialverhalten

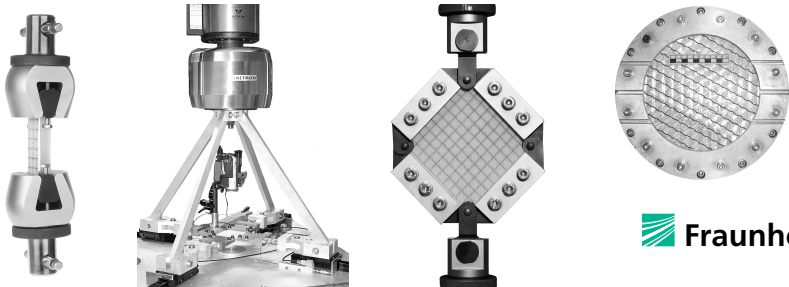


Werkstoffcharakterisierung

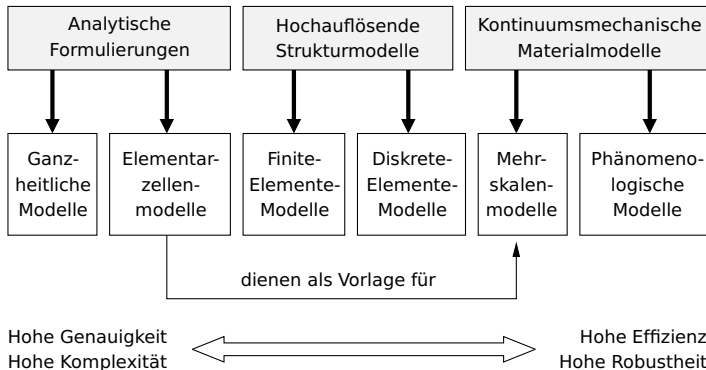
- ▶ Parameteridentifikation für homogenisierte Modelle schwierig
- ▶ Probeneinspannung kritisch, durchdachte Klemmensysteme erforderlich

Numerische Simulation

- ▶ Phänomenologische Modellierung weder zuverlässig noch austauschbar
- ▶ Mesostrukturmodellierung arbeits- und rechentechnisch äußerst aufwändig

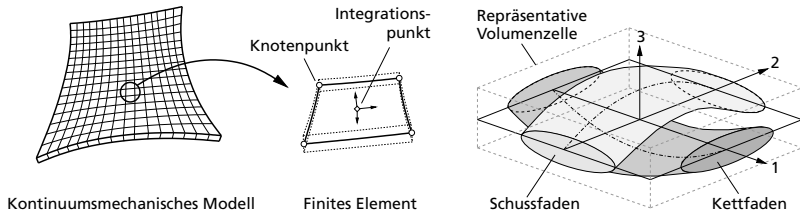


Literaturüberblick



Generelle Vorgehensweise

1. Finde eine repräsentative Volumenzelle und richte ein Kinematikmodell ein
2. Definiere und konfiguriere Materialparameter der eingesetzten Komponenten
3. Kopple die Kinematik des Modells an die makroskopische Deformation
4. Berechne die mesostrukturellen Kräfte und Momente
5. Transformiere Kräfte und Momente in Kontinuumsspannungen



Krümmungswechselwirkung

1. Fadenquerschnitte

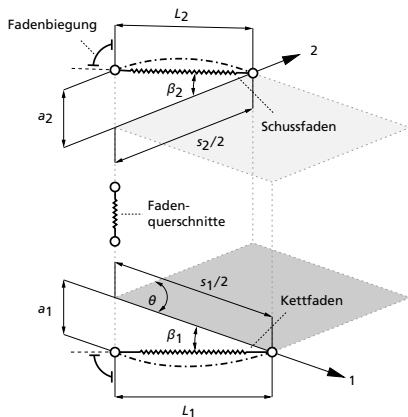
$$F_c(d_c) = \begin{cases} K_c [\exp(n_c d_c) - 1] & , d_c \geq 0 \\ K_c n_c d_c & , d_c < 0 \end{cases}$$

2. Faserdehnung

$$\left(1 + \frac{K_b}{K_a}\right) \sigma_f + \frac{\mu_b}{K_a} \dot{\sigma}_f = K_b \epsilon_f + \mu_b \dot{\epsilon}_f$$

3. Fadenbiegung

$$M_{bi} = K_b (\beta_i - \beta_i^{(0)})$$



Gewebeschermodell

1. Fadenbiegung

$$M_d = K_s \gamma_e$$

2. Verscherung («Trellising«)

$$\dot{\gamma}_f = \dot{\gamma}_0 \left(\frac{|M_d|}{M_0} \right)^b \operatorname{sgn}(M_d)$$

wobei $\gamma = \gamma_e + \gamma_f$

3. Fadenblockade («Locking«)

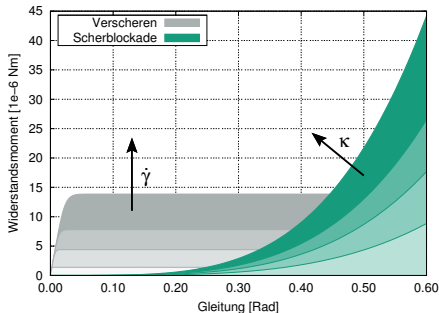
$$M_p = \kappa s_1 s_2 F_p \sin \gamma$$

wobei $F_p(\gamma) \stackrel{!}{=} K_p |\gamma|$

und bindungsabhängig $\kappa \in]0, 1]$

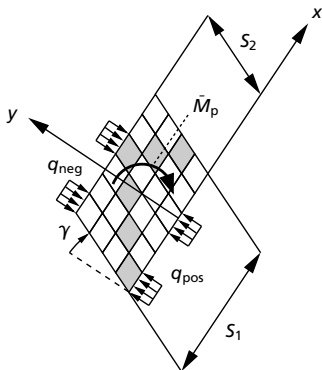
► Gesamtwiderstand

$$M(\gamma, \dot{\gamma}) = M_d + M_p$$



Einfluss der Gewebebindungsart

- ▶ Direkter Kontakt nebeneinander liegender Fäden bei hohen Scherwinkeln
- ▶ Ursprung des abrupten Anstiegs der Schersteifigkeit bei transversal zur Fadenrichtung wirkenden Kompressionskräften
- ▶ Bindungsartabhängige Verteilung dieser Streckenlasten auf der Umrandung der Grundbindungszelle (»Rapport«)



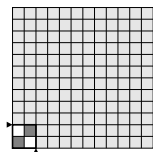
$$M_p = \int_{\frac{1}{2}(S_1 \sin \gamma + S_2)}^{\frac{1}{2}(S_1 \sin \gamma - S_2)} q_{\text{pos}}(x) x dx - \int_{\frac{1}{2}(-S_1 \sin \gamma - S_2)}^{\frac{1}{2}(-S_1 \sin \gamma + S_2)} q_{\text{neg}}(x) x dx$$

mit $q_{\text{pos}} = q_{\text{neg}} = F_p(\gamma)$ resultiert in:

$$\bar{M}_p = \kappa S_1 S_2 F_p(\gamma) \sin \gamma.$$

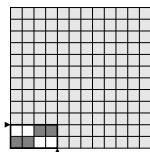
$$\rightsquigarrow M_p = \kappa s_1 s_2 F_p(\gamma) \sin \gamma.$$

Leinwandbindungen



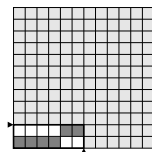
10-01 01-01-00

$$K = 1$$



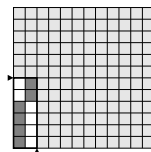
10-01 01-02-00

$$K = 3/4$$



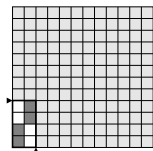
10-01-01-04 02-00

$$K = 2/3$$



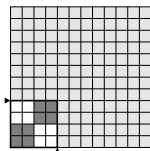
10-04-02-01-00

$$K = 2/3$$



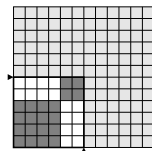
10-02 02-01-00

$$K = 3/4$$



10-02 02-02-00

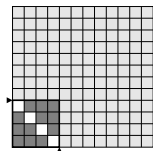
$$K = 1/2$$



10-04 02-04 02-00

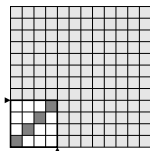
$$K = 1/3$$

Körperbindungen



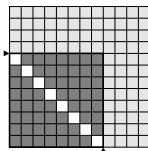
20-03 01-01-03

$$K = 1/2$$



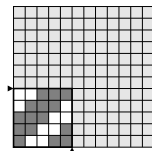
20-01 03-01-01

$$K = 1/2$$



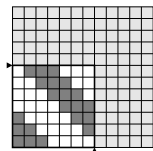
20-07 01-01-07

$$K = 1/4$$



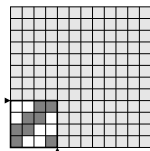
20-03 02-01-01

$$K = 2/5$$



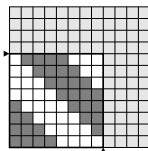
20-03 04-01-06

$$K = 2/7$$



20-02 02-01-01

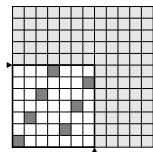
$$K = 1/2$$



20-04 04-01-07

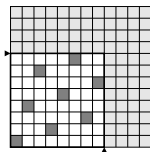
$$K = 1/4$$

Atlasbindungen



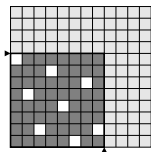
30-01 06-01-02

$$K = 2/7$$



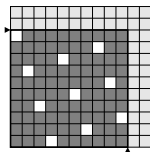
30-01 07-01-03

$$K = 1/4$$



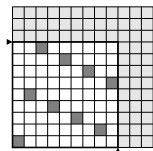
30-07 01-01-05

$$K = 1/4$$



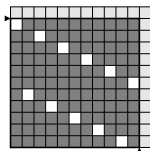
30-09 01-01-07

$$K = 1/5$$



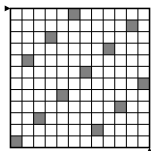
30-01 08-01-04

$$K = 2/9$$



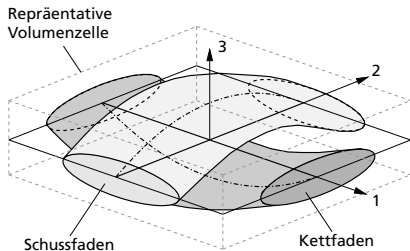
30-10 01-01-05

$$K = 2/11$$



30-01 11-01-07

$$K = 1/6$$



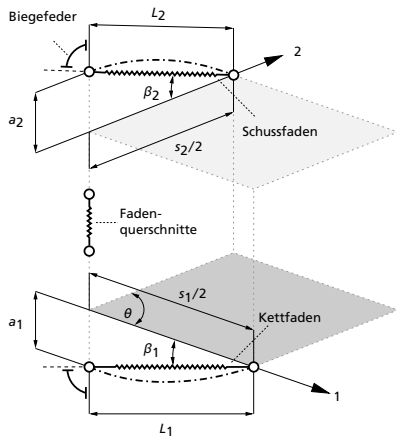
Konfiguration

► Unbekannte

- 1 Elastischer Scheranteil γ_e
- 1 Dissipativer Scheranteil γ_f
- 2 Fadenspannlängen s_i
- 2 Fadenamplituden a_i

► Auflösung

- 3 Deformationsgradient F
- 3 zusätzliche Zwangsbedingungen



Krümmungswechselwirkung

1. Vertikales Kräftegleichgewicht zwischen Kett- und Schussfaden

$$F_{c1} = F_{c2} \Leftrightarrow 2 T_1 \sin \beta_1 + 2 \frac{M_{b1}}{L_1} \cos \beta_1 = 2 T_2 \sin \beta_2 + 2 \frac{M_{b1}}{L_2} \cos \beta_2$$

2. Vertikaler kinematischer Zusammenschluß zwischen Kett- und Schussfaden

$$a_1^{(0)} + a_2^{(0)} = a_1 + a_2 + d_{c1} + d_{c2}$$

Gewebeschermodell

3. Superposition der elastischen und dissipativen Gleitung

$$\gamma = \gamma_e + \gamma_f \Leftrightarrow K_s \gamma_e = M_d \quad \text{where} \quad \dot{\gamma}_f = \dot{\gamma}_0 \left(\frac{|M_d|}{M_0} \right)^b \text{sgn}(M_d)$$

Cauchy Spannungstensor

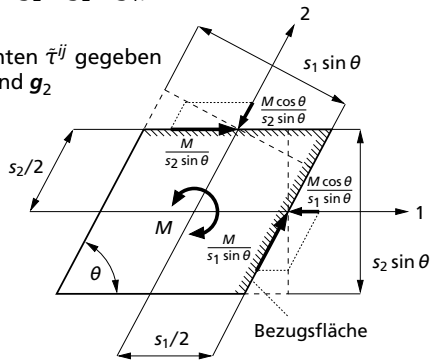
$$\boldsymbol{\sigma} = \bar{\tau}^{11} (\mathbf{g}_1 \otimes \mathbf{g}_1) + \bar{\tau}^{22} (\mathbf{g}_2 \otimes \mathbf{g}_2) + \bar{\tau}^{12} (\mathbf{g}_1 \otimes \mathbf{g}_2 + \mathbf{g}_2 \otimes \mathbf{g}_1)$$

Kontravariante Spannungstensorkomponenten $\bar{\tau}^{ij}$ gegeben bezogen auf kovariante Basisvektoren \mathbf{g}_1 und \mathbf{g}_2

$$\bar{\tau}^{11} = \frac{T_1 \cos \beta_1}{s_2 \sin \theta} - \frac{M_{b1} \sin \beta_1}{s_2 L_1 \sin \theta} - \frac{M \cos \theta}{s_1 s_2 \sin^2 \theta}$$

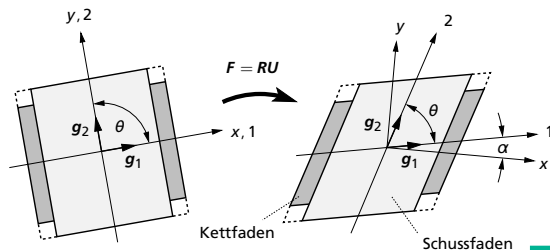
$$\bar{\tau}^{22} = \frac{T_2 \cos \beta_2}{s_1 \sin \theta} - \frac{M_{b2} \sin \beta_2}{s_1 L_2 \sin \theta} - \frac{M \cos \theta}{s_1 s_2 \sin^2 \theta}$$

$$\bar{\tau}^{12} = \frac{M}{s_1 s_2 \sin^2 \theta}$$

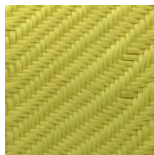


Spannungstensortransformation

$$\begin{pmatrix} \tau_x \\ \tau_y \\ \tau_{xy} \end{pmatrix} = \begin{bmatrix} \cos^2 \alpha & \cos^2 (\alpha + \theta) & 2 \cos \alpha \cos (\alpha + \theta) \\ \sin^2 \alpha & \sin^2 (\alpha + \theta) & 2 \sin \alpha \sin (\alpha + \theta) \\ \sin \alpha \cos \alpha & \sin (\alpha + \theta) \cos (\alpha + \theta) & \sin (2\alpha + \theta) \end{bmatrix} \begin{pmatrix} \tilde{\tau}^{11} \\ \tilde{\tau}^{22} \\ \tilde{\tau}^{12} \end{pmatrix}$$



Probenmaterial



Material	3961	3965	3971	
Bindung	Leinwand	Köper	Panama	
DIN 9354	10-01 01-01-00	20-04 04-01-01	10-02 02-02-00	
Fasername	Twaron CT	Twaron T	Twaron CT	
Faserdichte	1.45	1.44	1.45	g cm^{-3}
Garnfeinheit	930	3360	1680	dtex
Fadendichte	10.5	9.2	12.6	cm^{-1}
Gewicht	200	655	410	g m^{-2}
Festigkeit	1520	4000	2800	N cm^{-1}

Modellparameter

1. Herstellerangaben

- ▶ Mikroskopische Untersuchungen
- ▶ Informationen über Gewebemesostruktur
- ▶ Betroffene Parameter: ρ_{fib} , t_{eff} , s_1 , s_2 , A_1 , A_2 , θ , c_1 , c_2 , K

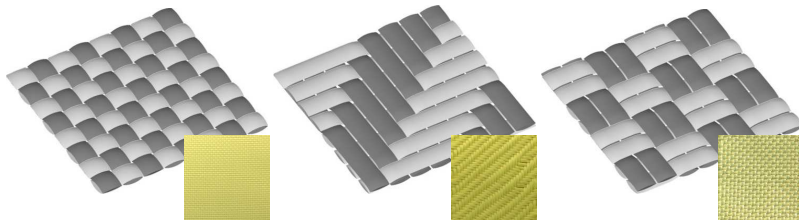
2. Uniaxialzugversuche an Fadenproben

- ▶ Unterschiedliche Dehnraten
- ▶ Messung der Bruchkraft und der Bruchdehnung
- ▶ Informationen über Faserverhalten
- ▶ Betroffene Parameter: E , K_a , μ_b , ϵ_{max} , $\epsilon_{a, \text{max}}$

3. Druckversuche an Gewebeproben

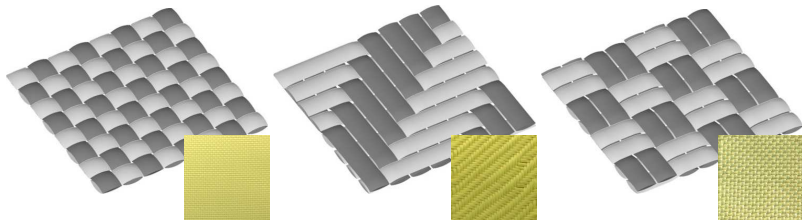
- ▶ Quasistatische Lastaufprägung entlang Dickenrichtung
- ▶ Informationen über Verformungsverhalten der Fadenquerschnitte
- ▶ Betroffene Parameter: K_c , n_c

Geometrie der Gewebemesostruktur



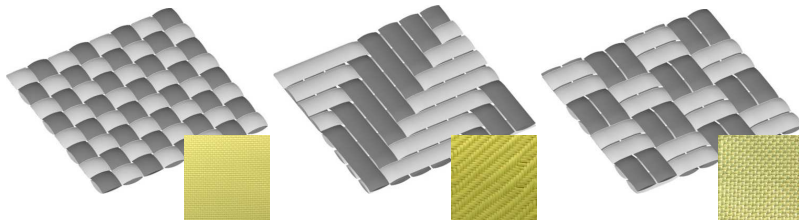
Material	3961	3965	3971	
Fadenspannen	0.952	1.087	0.794	mm
Fadenquerschnitt	0.0641	0.2333	0.1159	mm ²
Kettfadenkrümmung	1.6	1.2	1.3	%
Schussfadenkrümmung	3.7	2.2	3.7	%
Gewebewinkel	90	90	90	deg
Physikalische Dicke	0.276	0.814	0.537	mm
Effektive Dicke	0.138	0.454	0.283	mm

Krümmungswechselwirkung



Material	3961	3965	3971	
Faser, Elastizität	94	75	94	GPa
Faser, Steifigkeit primär	130	95	130	GPa
Faser, Viskosität	12	8	12	MPa s
Faser, Versagen gesamt	3.0	3.1	3.0	%
Faser, Versagen primär	2.9	3.0	2.9	%
Faserbündel, Biegung	(0)	(0)	(0)	Nm rad ⁻¹
Querschnitte, Steifigkeit	2.00	0.80	0.03	mN
Querschnitte, Exponent	120	40	150	mm ⁻¹

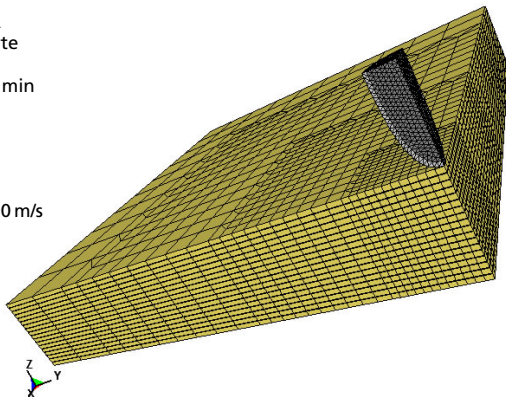
Gewebescherung



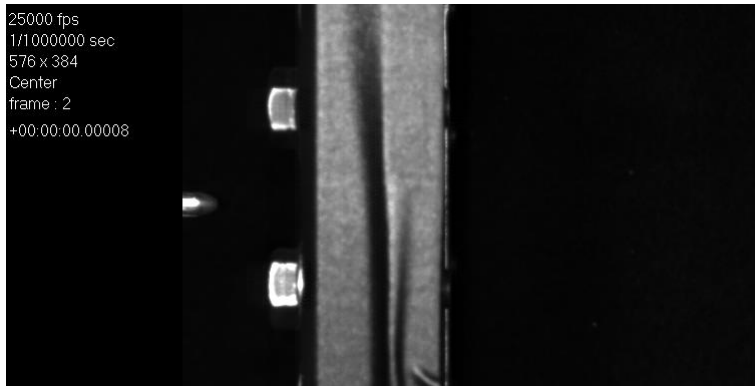
Material	3961	3965	3971	
Biegung, Steifigkeit	8e-4	12e-4	10e-4	Nm rad ⁻¹
Verscherung, Referenzrate	2e-3	2e-3	2e-3	rad s ⁻¹
Verscherung, Referenzmoment	4e-6	5e-6	7e-6	Nm
Verscherung, Exponent	8	12	20	–
Blockade, Bindungsart	1.00	0.25	0.50	–
Blockade, Steifigkeit	0.4	5.8	1.2	N mm ⁻¹ rad ⁻¹

Impaktexperiment

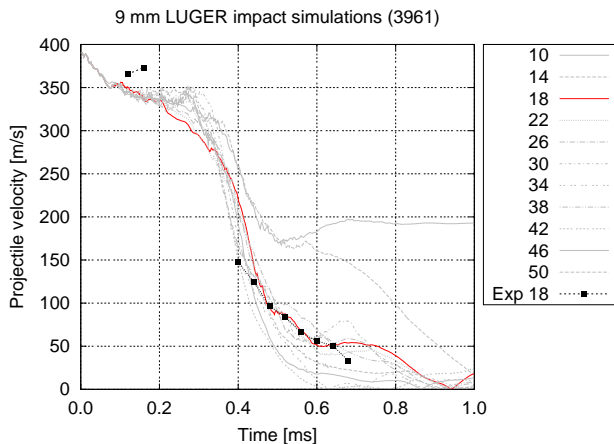
- ▶ **Modellbeschreibung**
 - ▶ Expliziter FE-Code LS-DYNA
 - ▶ Modellgröße 15000 Elemente
 - ▶ Problemdauer 1.2 ms
 - ▶ Berechnungsdauer etwa 90 min
 - ▶ Xeon 64 EMT Linux Cluster
- ▶ **9 mm LUGER Projektil**
 - ▶ Aufprallgeschwindigkeit 390 m/s
 - ▶ Masse 8 g
- ▶ **18 Gewebelagen**
 - ▶ Aramidgewebe (3961)
 - ▶ Abmessungen 20×20 cm



Impaktexperiment

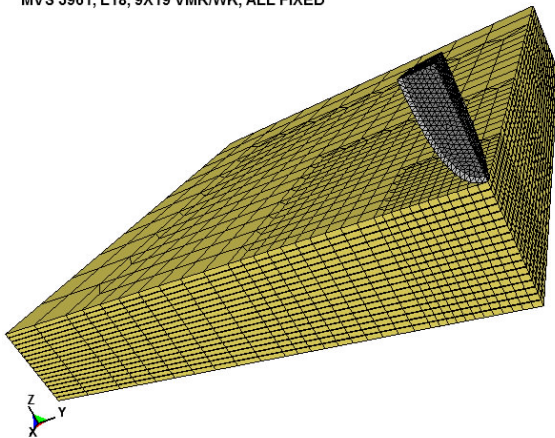


Projekttilgeschwindigkeiten

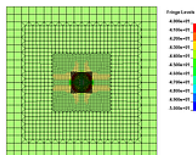


Animation der Berechnungen

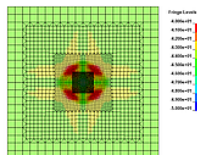
MVS 3961, L18, 9X19 VMR/WK, ALL FIXED



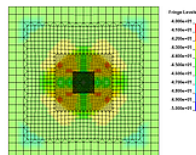
Richtungsänderung der Kettfäden



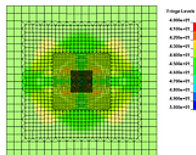
0.2 ms



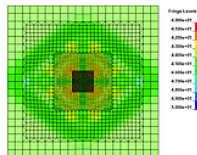
0.4 ms



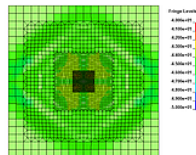
0.6 ms



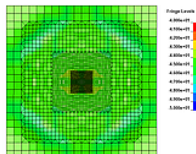
0.8 ms



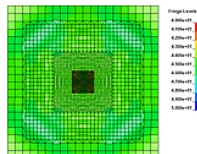
1.0 ms



1.2 ms

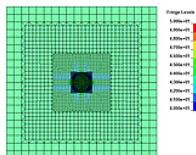


1.4 ms

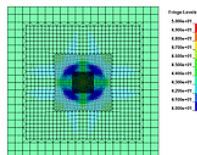


1.6 ms

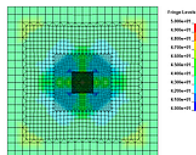
Richtungsänderung der Schussfäden



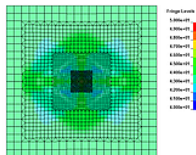
0.2 ms



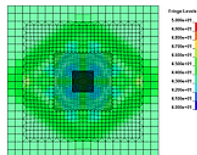
0.4 ms



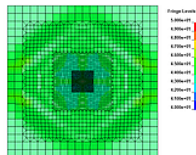
0.6 ms



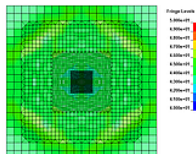
0.8 ms



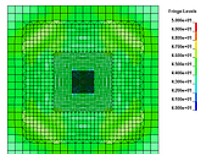
1.0 ms



1.2 ms

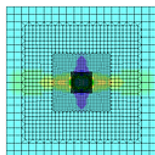


1.4 ms

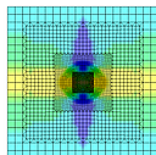


1.6 ms

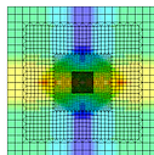
Streckung entlang Kettfadenrichtung



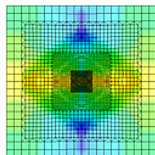
0.2 ms



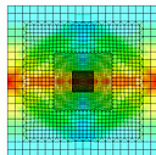
0.4 ms



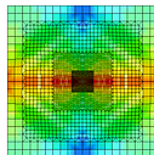
0.6 ms



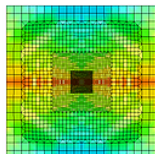
0.8 ms



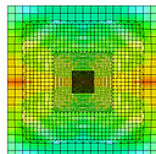
1.0 ms



1.2 ms

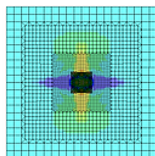


1.4 ms

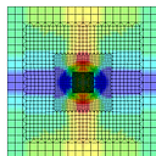


1.6 ms

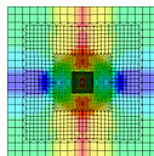
Streckung entlang Schussfadenrichtung



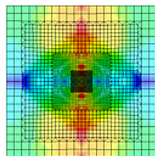
0.2 ms



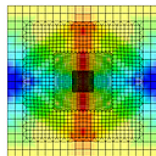
0.4 ms



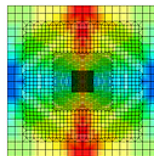
0.6 ms



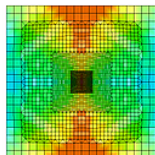
0.8 ms



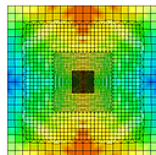
1.0 ms



1.2 ms

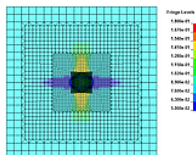


1.4 ms

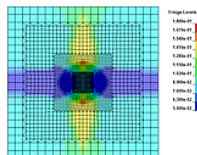


1.6 ms

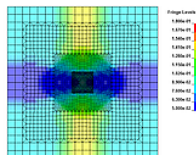
Kettfadenwelligkeit



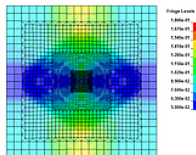
0.2 ms



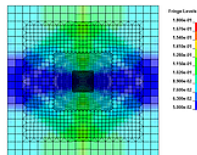
0.4 ms



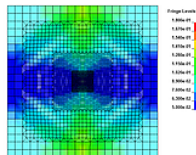
0.6 ms



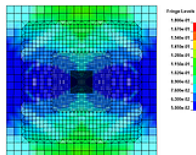
0.8 ms



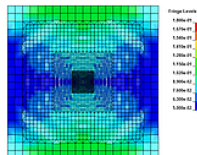
1.0 ms



1.2 ms

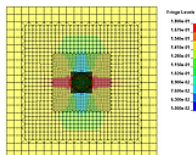


1.4 ms

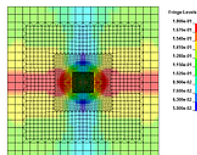


1.6 ms

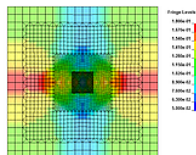
Schussfadenwelligkeit



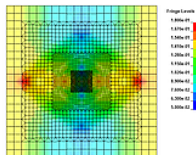
0.2 ms



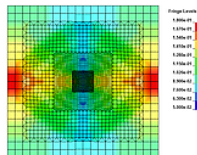
0.4 ms



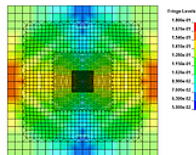
0.6 ms



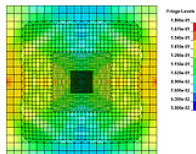
0.8 ms



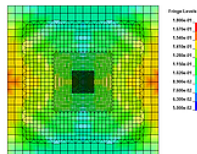
1.0 ms



1.2 ms

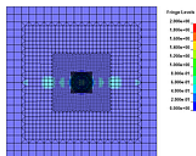


1.4 ms

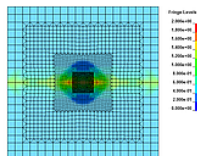


1.6 ms

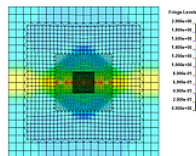
Kettfadenspannungen



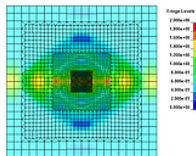
0.2 ms



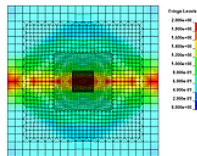
0.4 ms



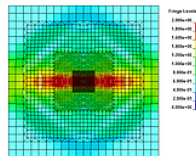
0.6 ms



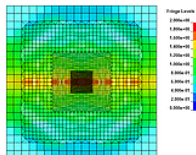
0.8 ms



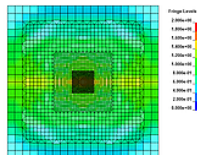
1.0 ms



1.2 ms

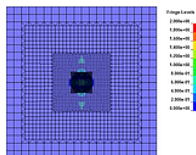


1.4 ms

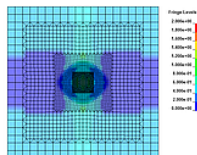


1.6 ms

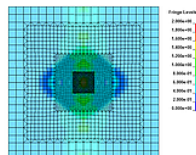
Schussfadenspannungen



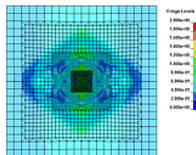
0.2 ms



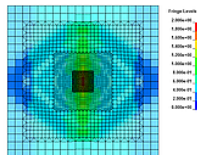
0.4 ms



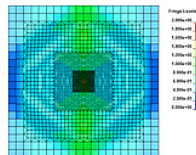
0.6 ms



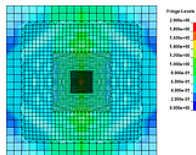
0.8 ms



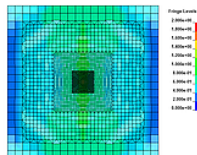
1.0 ms



1.2 ms



1.4 ms



1.6 ms

Zielsetzung

Zusammenführung der Vorzüge bestehender Modellierungstechniken in einem universell anwendbaren **Materialmodell für Gewebe**:

- ▶ Effektivität und Schnelligkeit phänomenologischer Kontinuumsmodelle
- ▶ Genauigkeit von mesostrukturbasierten Gewebemodellen

Fähigkeiten

- ▶ Faserviskoelastizität
- ▶ Komprimierbarkeit in Dickenrichtung
- ▶ Fadenbiegesteifigkeit
- ▶ Viskoplastischer Scherwiderstand
- ▶ Bindungsarteeinfluss auf nichtlineare Scherblockade



M.J. King, P. Jearanaisilawong & S. Socrate:

A continuum constitutive model for the mechanical behavior of woven fabrics
International Journal of Solids and Structures, 42(13):3867-3896, 2005.



I. Ivanov, A. Tabiei:

Loosely woven fabric model with viscoelastic crimped fibres for ballistic impact simulations
International Journal for Numerical Methods in Engineering, 61(10):1565-1583, 2004.



A. Shahkarami, R. Vaziri:

A continuum shell finite element model for impact simulation of woven fabrics
International Journal of Impact Engineering, 34(1):104-119, 2007.



X.Q. Peng, J. Cao:

A continuum [...] non-orthogonal constitutive model for woven composite fabrics
Composites Part A: Applied Science and Manufacturing, 36(6):859-874, 2005.



L. Liu; J. Chen; X. Li & J. Sherwood:

Two-dimensional macro-mechanics shear models of woven fabrics
Composites Part A: Applied Science and Manufacturing, 36(1):105-114, 2005.